

鹿島大学工学部 正員 藤井清司  
鹿島大学大学院 学生員 藤井重造

まえがき 岩石材料の内部にはき裂等大小様々の欠陥が存在しているが、その導動は強度評価におけるばらつきを深くする原因であると考えられている。そこで、こうしたき裂を取扱う手法として金属材料における破壊力学に着目し、特に線形破壊力学において強度係数として用いられている応力拡大係数 (Stress Intensity Factor ;  $K$ ) の測定方法について検討を行つたものである。1つはASTM<sup>(1)</sup>規格によつて平面ひずみ破壊剛性試験法K準じて開口形き裂変形に対するK値である $K_I$ を決定する際、その結果に最も影響を与えると考えられる試験片の板厚効果を確かめるものである。もう1つは、岩石材料において主裂変形として開口形とともに重要な、内面せん断形に対するK値である $K_{II}$ を決定するための試験法に関する試験である。これらの結果と、林上の簡便測定法<sup>(2)</sup>においてF.E.M.による結果を含めて報告する。

試験片  $K_I$ を求めるための試験片の形状を図1に示す。これは片側に先を鋭くした線状の切欠きを入れた矩形単純梁で、ASTMの標準試験片に沿つたものである。寸法は $W = 10\text{ cm}$ で、 $a/W$ の変化が与える影響についてはすでに確認してあるので、 $a = 5\text{ cm}$ とし、厚さ $B$ を寸法比 $B/W$ で $0.25, 0.50, 0.75, 1.00$ の4種類とした。ここで $B/W = 0.5$ が標準試験片寸法化である。 $K_{II}$ を求めるために著者らが開発した試験片の形状を図2に示す。これは片側切欠き梁試験片と同形状の切欠きを伝播せん断面内で向かい合いで入れたものであり、右寸法は図中に示す通りで、寸法比の $a/W$ で $0.6, 0.7, 0.8, 0.85$ の4種類とした。使用した材料は普通カルトリンドセメントで、細骨材の最大寸法が $2.5\text{ mm}$ 、配合が $C:S:W = 1:2:0.6$ のセメントモルタルである。これを右の型枠に設置して24時間後に脱型し、10日間の水中養生へ後3日間室温で乾燥して試験片を作製する。切欠きは所要の形状を加工して厚さ $1\text{ mm}$ の鋼板を打設前に型枠に設置することにより作成した。材料の力学特性については表1に示す。

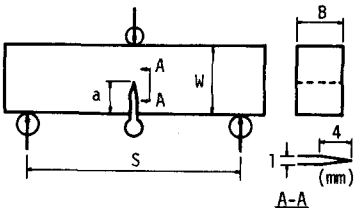


図1. 片側切欠き梁試験片の形状  
および三点曲げ試験法。

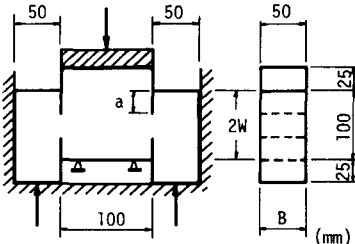


図2.  $K_{II}$ 用試験片の形状、寸法および試験法。

表1. 使用セメントモルタルの力学的特性。

	在締強度 $\sigma_c (\text{kg}/\text{cm}^2)$	引張強度 $\sigma_t (\text{kg}/\text{cm}^2)$	剛性係数 $\times 10^5 (\text{kg}/\text{cm}^2)$	泊松比 $\nu$
$C:S:W = 1:2:0.6$ 標準2種類	317	30.3	1.88	0.20

試験方法 片側切欠き梁の試験は図1のようす三点曲げ試験で、スパン長 $S = 4W = 40\text{ cm}$ とし、中央載荷点には $\phi 28\text{ mm}$ の鋼棒を用いる。載荷にはスクリュージャッキを用い、荷重速度はほぼ一定 ( $150\text{ kg}/\text{min}$ ) に保ち、その変化はロードセルで測定する。主裂開口端には、子裂開口変位量を測定するためクリップ型変位計を設置する。また、梁中央部のたわみ量を同時に測定するためKカンチレバー型の変位計を用いる。変位計とロードセルの出力は、X-Yレコーダーに記録される。図2の $K_{II}$ 用試験片についても二面せん断試験とし、載荷には油圧ジャッキを用いるが、載荷時に機械方向と支点の移動を防ぐために試験片を拘束する。今回の試験では図中に示すように、試験片下端の凹部に2個のカンチレバー型変位計を取り付けて、下側の主裂の載荷方向への変位量を取り出し、ロードセルの出力とともにX-Yレコーダーに記録させ、その2本の曲線の平均値を計算して荷重へ変位曲線図をえた。

$K_I, K_{II}$ の計算  $K$ 値の計算には本来主裂進展開始時の荷重値を用いるべきであるが、セメントモルタルのように不均質な材料ではその荷重値を明確に定める方法がないので、今回は各々の荷重へ変位曲線より得られる最大荷重 $P_F$ を用いて計算する。図3と図4が各々の荷重へ変位曲線の一例である。 $K_I$ 値の計算にはASTMの破壊剛性試験に使われている次式のような基礎方程式を用いる。

$$K_I = \left( P_F S / BW^{3/2} \right) [ 2.9(a/W)^{1/2} - 4.6(a/W)^{3/2} + 21.8(a/W)^{5/2} - 37.6(a/W)^{7/2} + 38.7(a/W)^{9/2} ]$$

一方、 $K_{II}$ 値の計算には次のような式を用いた。

$$K_{II} = 2 [ P_F / 4B(W-a) ] \sqrt{(W-a)/\pi}$$

### FEMによるK値の簡便法

応力拡大係数の簡便法が柱上にようて提案されてい。この方法では、

まず計算用形状について境界条件と同じにして、主張

が存在しないと仮定したときの計算を行い、主張先端に

予定されている要素の応力 $\sigma_{yp}$ を求める。次に、主張先端近傍の要素分割を同じくして、主張先端における要素の

応力 $\sigma_{tip}$ を求める。これらの計算結果から得られる応力差 $(\sigma_{tip} - \sigma_{yp})$ がK値と関係あると考える。 $(\sigma_{tip} - \sigma_{yp})$

とK値との関係は、厳密解が未だ、このような問題を有限要素法で解くことより求められる。おまかに、2つの問題A、Bを考えると、主張先端の分割をそろそろことにより二つのK値の比 $(\sigma_{tip} - \sigma_{yp})_B / (\sigma_{tip} - \sigma_{yp})_A$ で与えらるる若しく、問題Aの厳密解が未だ、いれば、二の値を基準として他のK値が求められる。

**試験結果** 片側切欠き梁の三点曲げ試験の結果を、板厚比 $B/W$ で整理したのが図3である。これによると、板厚比が大きくなるにつれて $K_I$ の値が全ての板厚に対する一定の低限値 $K_I = 52.5 \text{ kg} \cdot \text{cm}^{-3/2}$ を収束する傾向にある。しかも、 $K_I$ 自体のばらつきもかなり減少していることより、主張材の破壊といふ現象が事实上一定のK値で起ころと考えられる。これについては、 $B/W = 4.0$ というかなり板厚比の大きい中央主張入り円柱試験片で引張試験をして場合にも、この傾向に一致する結果が得られていく。また、試験片の破断面を観察すると、板厚比の小さい薄い試験片では破面が引張方向に斜めに傾斜しており、応力状態が実質的K平面応力状態であると考えられる。他方、板厚比の大きい厚い試験片では破面が引張方向に対して直角な分離形をしており、中央部では平面ひずみの条件で変形したものと考えられる。二面せん断試験の結果を $a/W$ で整理したのが図4である。せいい性材料では純粋なせん断破壊を再現することはかなり難しいものであり、今回の試験でもばらつきを生じたが、FEM解析によれば、切欠き間にかかる最大せん断力はほぼ仮想せん断面に沿って分布しており、今回用いた試験片で形状的には問題はないものと思われる。そして平均して $K_{II} = 100 \text{ kg} \cdot \text{cm}^{-3/2}$ ,  $T_F = 73 \text{ kg}/\text{cm}^2$ 前後の結果が得られ、二つの $P_F$ の値を $\bar{P} = \sqrt{P_F \cdot K_{II}} / 2 = 70 \text{ kg}/\text{cm}^2$ と比較すると、試験の結果がかなりよかつたものであると考えられる。簡便法による計算結果を図7に示す。これは $B/W = 0.5$ として求めたもので、 $K_I$ 値の場合の平均値 $53.5 \text{ kg} \cdot \text{cm}^{-3/2}$ は、

同様の手法比の片側切欠き梁の三点曲げ試験より得られた $K_I = 57.1 \text{ kg} \cdot \text{cm}^{-3/2}$ と比較して良い値と思われる。 $K_{II}$ の場合が試験結果より大きな値が得られた。

参考文献 (1) ASTM, E299-70T, 1970.

(2) 柄上:機論, 42-360(昭51-8), 2305.

(3) 藤井ら:岩石材料への破壊力学の応用とその考察, 第2回日本岩石力学講演会, 1977.

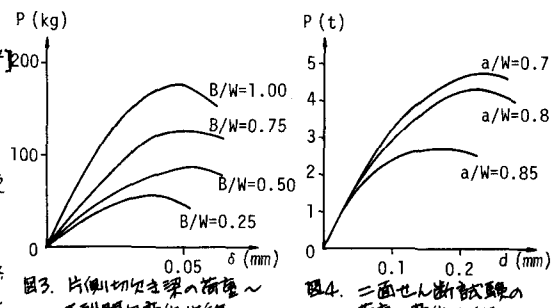


図3. 片側切欠き梁の荷重～たわみ関係

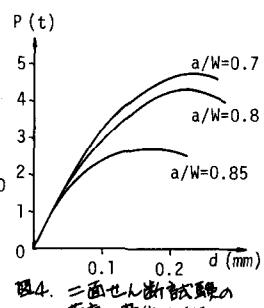


図4. 二面せん断試験の荷重～たわみ関係

予定されている要素の応力 $\sigma_{yp}$ を求める。次に、主張先端近傍の要素分割を同じくして、主張先端における要素の応力 $\sigma_{tip}$ を求める。これらの計算結果から得られる応力差 $(\sigma_{tip} - \sigma_{yp})$ がK値と関係あると考える。 $(\sigma_{tip} - \sigma_{yp})$ とK値との関係は、厳密解が未だ、このような問題を有限要素法で解くことより求められる。おまかに、2つの問題A、Bを考えると、主張先端の分割をそろそろことにより二つのK値の比 $(\sigma_{tip} - \sigma_{yp})_B / (\sigma_{tip} - \sigma_{yp})_A$ で与えらるる若しく、問題Aの厳密解が未だ、いれば、二の値を基準として他のK値が求められる。

**試験結果** 片側切欠き梁の三点曲げ試験の結果を、板厚比 $B/W$ で整理したのが図5である。これによると、板厚比が大きくなるにつれて $K_I$ の値が全ての板厚に対する一定の低限値 $K_I = 52.5 \text{ kg} \cdot \text{cm}^{-3/2}$ を収束する傾向にある。しかも、 $K_I$ 自体のばらつきもかなり減少していることより、主張材の破壊といふ現象が事实上一定のK値で起ころと考えられる。これについては、 $B/W = 4.0$ というかなり板厚比の大きい中央主張入り円柱試験片で引張試験をして場合にも、この傾向に一致する結果が得られていく。また、試験片の破断面を観察すると、板厚比の小さい薄い試験片では破面が引張方向に斜めに傾斜しており、応力状態が実質的K平面応力状態であると考えられる。他方、板厚比の大きい厚い試験片では破面が引張方向に対して直角な分離形をしており、中央部では平面ひずみの条件で変形したものと考えられる。二面せん断試験の結果を $a/W$ で整理したのが図6である。せいい性材料では純粋なせん断破壊を再現することはかなり難しいものであり、今回の試験でもばらつきを生じたが、FEM解析によれば、切欠き間にかかる最大せん断力はほぼ仮想せん断面に沿って分布しており、今回用いた試験片で形状的には問題はないものと思われる。そして平均して $K_{II} = 100 \text{ kg} \cdot \text{cm}^{-3/2}$ ,  $T_F = 73 \text{ kg}/\text{cm}^2$ 前後の結果が得られ、二つの $P_F$ の値を $\bar{P} = \sqrt{P_F \cdot K_{II}} / 2 = 70 \text{ kg}/\text{cm}^2$ と比較すると、試験の結果がかなりよかつたものであると考えられる。簡便法による計算結果を図7に示す。これは $B/W = 0.5$ として求めたもので、 $K_I$ 値の場合の平均値 $53.5 \text{ kg} \cdot \text{cm}^{-3/2}$ は、

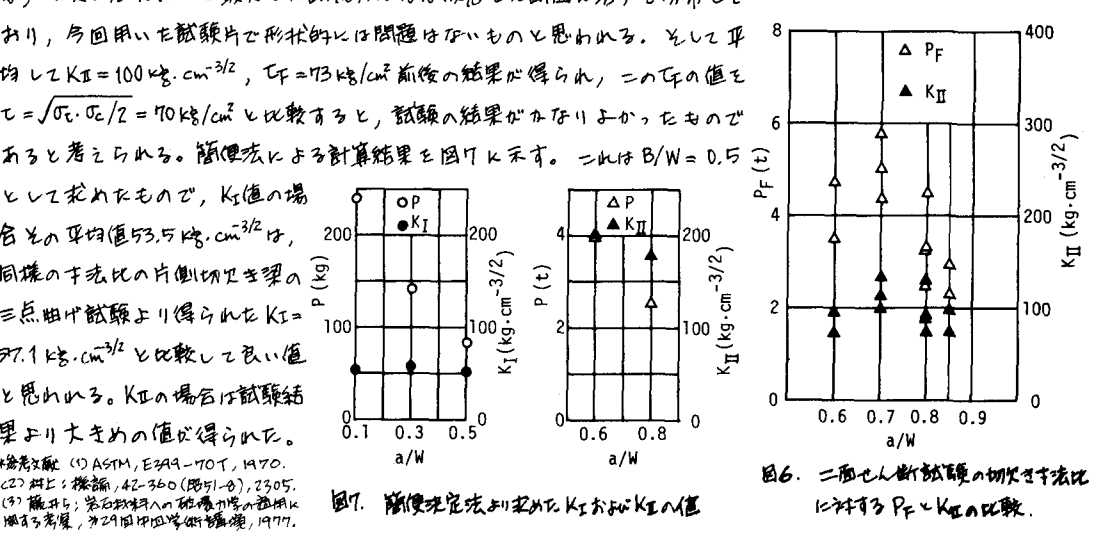


図5. 片側切欠き梁の板厚比の変化による $P_F$ と $K_I$ の比較